

# 有限差分法

## 案例 3：弦的横振动问题

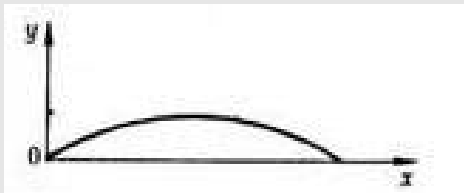
## 1 弦的横振动问题

- 背景问题
- 数学建模
- 波动方程及其特征
- 有限差分方法
- 算法设计与实现
- 数值实验
- 理论分析

给定一根两端固定的拉紧的均匀柔软的弦，在平衡位置附近作微小的振动 (以某种方式激发, 在同一平面内, 弦上各点的振动方向相互平行, 且与波的传播方向垂直), 求弦上各点的运动规律。

将  $x$  轴的正向取为水平方向 (或纵向) 向右, 弦的左端点为原点, 弦的右端点为其长度  $L$ , 如下图所示。

设  $u(x, t)$  表示弦上各点在  $t$  时刻沿垂直于  $x$  方向 (或横向) 的位移。

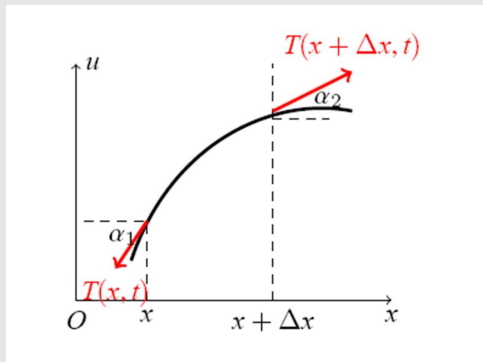


下面基于如下假设来建立弦的振动方程.

- ① 弦是均匀的, 且弦的截面直径与弦的长度相比可以忽略. 即可将其视为一根曲线, 其中 **线密度  $\rho$  是常数**.
- ② 弦在一平面内作微小横振动. 即弦位置始终在同一平面内一条直线附近, 且弦上各点均在 **垂直于该直线的方向上微小的振动**.
- ③ 弦是柔软的, 它在形变时不抵抗弯曲. 即弦上各点间的 **张力方向与弦的切线方向一致**, 弦上每一点所受 **张力与时间无关**, 跟张力相比, **弦的重量完全可以略去**.

采用微元法进行分析，考虑微元

$$[x, x + \Delta x] \times [t, t + \Delta t]$$



利用微小振动和张力与时间无关且方向沿着切线方向假设, 可以证明: 若弦不受水平方向 ( $x$  方向或纵向) 外力的作用, 则

张力  $T$  可以近似视为常数.

事实上, 由假设 3 知: 弦段在纵向的合力为 (注意弦没有水平方向的外力)

$$T(x + \Delta x) \cos \alpha_2 - T(x) \cos \alpha_1$$

又由假设 2 知

$$\cos \alpha_1 \approx 1, \quad \cos \alpha_2 \approx 1$$

由力的平衡原理, 有

$$T(x + \Delta x) - T(x) \approx 0 \Leftrightarrow T(x + \Delta x) \approx T(x)$$



在时间段  $[t, t + \Delta t]$  上的冲量为

$$\begin{aligned} & \int_t^{t+\Delta t} (T \sin \alpha_2 - T \sin \alpha_1) dw \\ &= \int_t^{t+\Delta t} T \left[ \frac{\partial u(x + \Delta x, w)}{\partial x} - \frac{\partial u(x, w)}{\partial x} \right] dw \\ &= \int_t^{t+\Delta t} \int_x^{x+\Delta x} \frac{\partial}{\partial x} \left( T \frac{\partial u}{\partial x} \right) dx dw \end{aligned}$$

其中利用了

$$\begin{aligned} \sin \alpha_1 &\approx \alpha_1 \approx \tan \alpha_1 = \frac{\partial u(x, w)}{\partial x} \\ \sin \alpha_2 &\approx \alpha_2 \approx \tan \alpha_2 = \frac{\partial u(x + \Delta x, w)}{\partial x} \end{aligned}$$

在时间段  $[t, t + \Delta t]$  上增加的动量为

$$\begin{aligned} & \int_x^{x+\Delta x} \rho \left[ \frac{\partial u(x, t + \Delta t)}{\partial t} - \frac{\partial u(x, t)}{\partial t} \right] dx \\ &= \int_x^{x+\Delta x} \int_t^{t+\Delta t} \rho \frac{\partial^2 u(x, w)}{\partial t^2} dw dx. \end{aligned}$$



假设弦振动的过程中没有受  $u$  方向(或横向)外力的作用, 则由动量守恒定律: 合力做的冲量=动量的变化

$\Rightarrow$

$$\int_t^{t+\Delta t} \int_x^{x+\Delta x} \left[ \rho \frac{\partial^2 u(x, w)}{\partial t^2} - T \frac{\partial^2 u(x, w)}{\partial x^2} \right] dx dw = 0$$

由  $\Delta x, \Delta t$  的任意性知

$$\rho \frac{\partial^2 u(x, t)}{\partial t^2} - T \frac{\partial^2 u(x, t)}{\partial x^2} = 0 \Leftrightarrow u_{tt} - a^2 u_{xx} = 0$$

其中  $a^2 = T/\rho$ .

若弦振动的过程中还受横向外力的作用，并记  $F(x, t)$  为单位长度所受的横向外力，则有

$$\frac{\partial^2 u}{\partial t^2} - a^2 \frac{\partial^2 u}{\partial x^2} = F(x, t)/\rho = f(x, t).$$

初始条件：弦在初始时刻  $t = 0$  的位置和速度

$$u(x, 0) = \varphi(x), \quad \frac{\partial u(x, 0)}{\partial t} = \phi(x) \quad (0 \leq x \leq L).$$

边界条件:

- ▶ 第一类边界条件 (Dirichlet 边界条件)

$$u(0, t) = 0, \quad u(L, t) = 0.$$

- ▶ 第二类边界条件 (Neuman 边界条件)

$$\left. \frac{\partial u}{\partial x} \right|_{x=0} = 0, \quad \text{或者} \quad \left. \frac{\partial u}{\partial x} \right|_{x=0} = \mu(t).$$

- ▶ 第三类边界条件 (Robin 边界条件)

$$\left( \frac{\partial u}{\partial x} - \sigma_1 u \right) \Big|_{x=0} = \mu(t), \quad \text{或者} \quad \left( \frac{\partial u}{\partial x} - \sigma_2 u \right) \Big|_{x=L} = \nu(t).$$

其中  $\sigma_1, \sigma_2$  为已知正数。

弦的振动方程和初始条件、边界条件结合起来，得到定解问题，称为初边值问题，或混合问题：

$$\begin{cases} \frac{\partial^2 u}{\partial t^2} - a^2 \frac{\partial^2 u}{\partial x^2} = f(x, t), & 0 < x < L, t > 0, \\ u(x, 0) = \varphi(x), \quad u_t(x, 0) = \phi(x), & 0 < x < L, \\ u(0, t) = u(L, t) = 0, & t \geq 0. \end{cases} \quad (1)$$

考虑二阶线性双曲型方程最简单模型 (波动方程初值问题)

$$\frac{\partial^2 u}{\partial t^2} - a^2 \frac{\partial^2 u}{\partial x^2} = 0, \quad -\infty < x < \infty, \quad t > 0 \quad (2)$$

$$u(x, 0) = \phi_0(x), \quad u_t(x, 0) = \phi_1(x), \quad -\infty < x < \infty \quad (3)$$

其中  $a > 0$  是常数.

两个 特征方向:

$$\frac{dt}{dx} = \pm \frac{1}{a} \quad (4)$$

对应两族特征线

$$x - at = c_1, \quad x + at = c_2$$

利用上述变量代换将方程 (2) 变为

$$\frac{\partial^2 u}{\partial c_1 \partial c_2} = 0$$

从而方程 (2) 的通解为

$$u = f_1(c_1) + f_2(c_2) = f_1(x - at) + f_2(x + at) \quad (5)$$

利用 (5) 和初值条件 (3) 可导出模型问题的解析解表示式.

## D'Alembert (达朗贝尔) 公式

$$u(x, t) = \frac{1}{2}[\phi_0(x - at) + \phi_0(x + at)] + \frac{1}{2a} \int_{x-at}^{x+at} \phi_1(\xi) d\xi \quad (6)$$

证明：由初值条件 (3) 和 (5) 有：

$$f_1(x) + f_2(x) = \phi_0(x) \quad (7)$$

$$-af'_1(x) + af'_2(x) = \phi_1(x) \quad (8)$$

分别作  $a \cdot (7)' + (8)$ , 以及  $a \cdot (7)' - (8)$ , 得

$$\begin{cases} af'_2(x) = \frac{1}{2}(a\phi'_0(x) + \phi_1(x)) \\ af'_1(x) = \frac{1}{2}(a\phi'_0(x) - \phi_1(x)) \end{cases}$$

$\Rightarrow$

$$\begin{cases} f_1(x) = \frac{1}{2a} \int_0^x (a\phi'_0(\xi) - \phi_1(\xi)) d\xi + f_1(0) \\ f_2(x) = \frac{1}{2a} \int_0^x (a\phi'_0(\xi) + \phi_1(\xi)) d\xi + f_2(0) \end{cases}$$

$\Rightarrow$

$$\begin{cases} f_1(x) = \frac{1}{2}(\phi_0(x) - \phi_0(0)) - \frac{1}{2a} \int_0^x \phi_1(\xi) d\xi + f_1(0) \\ f_2(x) = \frac{1}{2}(\phi_0(x) - \phi_0(0)) + \frac{1}{2a} \int_0^x \phi_1(\xi) d\xi + f_2(0) \end{cases}$$

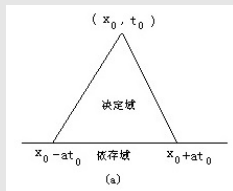
$\Rightarrow$  (注意:  $f_1(0) + f_2(0) = \phi_0(0)$ )

$$\begin{aligned} u(x, t) &= f_1(x - at) + f_2(x + at) \\ &= \frac{1}{2}[\phi_0(x - at) + \phi_0(x + at)] + \frac{1}{2a} \int_{x-at}^{x+at} \phi_1(\xi) d\xi \end{aligned}$$

□

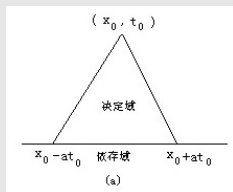
由 D'Alembert 公式可得到如下依存域, 决定域和影响域的概念.



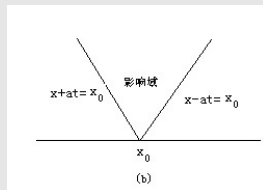


**依存域:**  $u$  在点  $(x_0, t_0)$  处的值仅依赖于初值函数  $\phi_0(x)$ ,  $\phi_1(x)$  在该 (局部) 区间  $[x_0 - at_0, x_0 + at_0]$  的值, 与区间外的初值无关, 故称  $[x_0 - at_0, x_0 + at_0]$  为点  $(x_0, t_0)$  的依存域. (见上图(a))

说明了双曲型方程的重要特征: **解的局部依赖性**; 利用该特性知:  $t = t_n$  时间层上的某个空间点  $x_j$  的数值解只与  $t = t_{n-1}$  上的  $x_j$  的小邻域上的值有关, 并且时间步长越小, 该小邻域就越小.



**决定域:** 区间  $[x_0 - at_0, x_0 + at_0]$  上的初值不仅确定  $u(x_0, t_0)$ , 而且确定了  $u$  在以  $(x_0 - at_0, 0)$ ,  $(x_0 + at_0, 0)$ ,  $(x_0, t_0)$  为顶点的三角形域内的值, 故称此三角形域为区间  $[x_0 - at_0, x_0 + at_0]$  的决定域. (见上图(a))



**影响域:** 对于  $x$  轴上任一点  $(x_0, 0)$ , 依存域包含  $(x_0, 0)$  的一切点  $(x, t)$  的集合是以  $(x_0, 0)$  为顶点, 过该点的特征  $x - at = x_0$  和  $x + at = x_0 (t > 0)$  为边的角形域, 称之为  $(x_0, 0)$  的影响域. (见上图(b))

可见: 初值函数在  $(x_0, 0)$  处的值, 随着时间  $t$  的增大, 在  $t$  时间层的影响区间越来越大.

下面, 首先针对波动方程初值问题 (见 (2), (3)):

$$\frac{\partial^2 u}{\partial t^2} - a^2 \frac{\partial^2 u}{\partial x^2} = 0, \quad -\infty < x < \infty, \quad t > 0$$

$$u(x, 0) = \phi_0(x), \quad u_t(x, 0) = \phi_1(x), \quad -\infty < x < \infty$$

介绍有限差分法.

## 网格剖分

对求解域  $G = (-\infty, \infty) \times (0, \infty)$  作均匀网格剖分.

节点:

$$x_j = jh, \quad j = 0, \pm 1, \dots$$

$$t_n = n\tau, \quad n = 0, 1, \dots$$

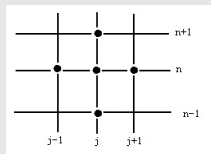
其中空间和时间步长:  $h, \tau$ .

## 显格式

在节点  $(x_j, t_n)$  处对微分方程 (2) 进行离散

$$\frac{u_j^{n+1} - 2u_j^n + u_j^{n-1}}{\tau^2} = a^2 \frac{u_{j+1}^n - 2u_j^n + u_{j-1}^n}{h^2}, \quad (9)$$

$$j = 0, \pm 1, \dots; n = 1, 2, \dots$$



关于节点  $(x_j, t_n)$  的差分方程 (9) 的 **截断误差** 为  $O(\tau^2 + h^2)$ .

利用初始条件可导出在前两个时间层上的离散格式:

$$u_j^0 = \phi_0(x_j) \quad (10)$$

$$\frac{u_j^1 - u_j^0}{\tau} = \phi_1(x_j) \quad (11)$$

相应截断误差为  $O(\tau)$ .

为了提高精度, 我们采用如下改进的方案逼近初始时刻的  $u_t$ .

用中心差商代替  $u_t$ , 得

$$\frac{u_j^1 - u_j^{-1}}{2\tau} = \phi_1(x_j) \quad (12)$$

在 (9) 中令  $n = 0$ ,

$$\frac{u_j^1 - 2u_j^0 + u_j^{-1}}{\tau^2} = a^2 \frac{u_{j+1}^0 - 2u_j^0 + u_{j-1}^0}{h^2}$$

利用 (12), 消去  $u_j^{-1}$ , 得到格式(  $r = a\tau/h$  是网比)

$$u_j^1 = \frac{r^2}{2} [\phi_0(x_{j-1}) + \phi_0(x_{j+1})] + (1 - r^2)\phi_0(x_j) + \tau\phi_1(x_j) \quad (13)$$

其截断误差为  $O(\tau^2 + h^2)$ .



接着, 针对如下一维弦振动方程初边值问题(或混合问题):

$$\begin{cases} \frac{\partial^2 u}{\partial t^2} - a^2 \frac{\partial^2 u}{\partial x^2} = f(x, t), & x \in (0, L), t > 0, \\ u(x, 0) = \varphi(x), \quad u_t(x, 0) = \phi(x), & 0 < x < L, \\ u(0, t) = \alpha(t), u(L, t) = \beta(t), & t \geq 0, \end{cases} \quad (14)$$

给出其有限差分格式.

取  $h = L/J$ ,  $\tau = T/N$ .

这时关于第  $n+1$  层, 第  $j$  个节点处的差分格式由 (9) 变为

$$\frac{u_j^{n+1} - 2u_j^n + u_j^{n-1}}{\tau^2} - a^2 \frac{u_{j+1}^n - 2u_j^n + u_{j-1}^n}{h^2} = f_j^n, \\ j = 1, \cdots, N-1; \quad n = 1, 2, \cdots, J-1$$

边值条件为:

$$u_0^n = \alpha(n\tau), \quad u_J^n = \beta(n\tau), \quad n = 0, 1, \cdots, J$$

初值条件: 由 (10) 和 (11) 变为

$$u_j^0 = \phi_0(x_j), \quad \frac{u_j^1 - u_j^0}{\tau} = \phi_1(x_j), \quad j = 1, \cdots, N-1$$

## 隐格式

对格式 (9) 作以下修改：将第  $n$  层沿  $x$  方向的二阶中心差商，用第  $n-1$  层、 $n$  层、 $n+1$  层的沿  $x$  方向的二阶中心差商作加权平均代替，

$$\begin{aligned} \frac{u_j^{n+1} - 2u_j^n + u_j^{n-1}}{\tau^2} = & a^2 \left[ \theta \frac{u_{j+1}^{n+1} - 2u_j^{n+1} + u_{j-1}^{n+1}}{h^2} \right. \\ & + (1 - 2\theta) \frac{u_{j+1}^n - 2u_j^n + u_{j-1}^n}{h^2} \\ & \left. + \theta \frac{u_{j+1}^{n-1} - 2u_j^{n-1} + u_{j-1}^{n-1}}{h^2} \right] \quad (15) \end{aligned}$$

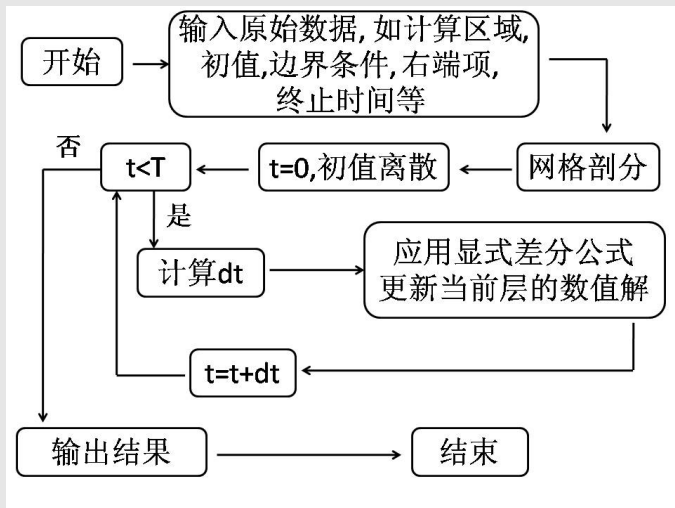
其中  $0 \leq \theta \leq 1$ ，显然当  $\theta = 0$  时为显格式。

考虑如下波动方程差分离散的算法实现,

$$\begin{aligned}\frac{\partial^2 u}{\partial t^2} - a^2 \frac{\partial^2 u}{\partial x^2} &= 0, \\ u(L, t) &= u_L(x), \quad u(R, t) = u_R(x), \\ u(x, 0) &= u_0(x), \quad u_t(x, 0) = 0.\end{aligned}$$

首先给出显模式算法的流程, 然后给出实现算法的Matlab代码.

## 显格式算法流程



# Matlab 实现

```

function [X,T,U] = wave_equation_fd1d(NS,NT,pde,theta)
%% WAVE_EQUATION_FD1D 利用有限差分方法计算一维弦振动方程
%
% 输入参数:
%     NS 整型, 空间剖分段数.
%     NT 整型, 时间剖分段数.
%     pde 结构体, 待求解的微分方程模型的已知数据,
%         如边界、初始、系数和右端项等条件.
%     theta 双精度类型, 隐格式参数, 在  $[0,1]$  之间,
%         当  $\theta=0$  时, 格式为显格式.
% 输出参数:
%     X 长度为  $NS+1$  的列向量, 空间网格剖分
%     T 长度为  $NT+1$  的行向量, 时间网格剖分
%     U  $(NS+1)*(NT+1)$  矩阵,  $U(:,i)$  表示第  $i$  个时间层网格部分上的数值解
%
% 作者: 魏华祎 <weihuayi@xtu.edu.cn>

if nargin < 4
    theta = 0; % 默认用显格式
end

```

# Matlab 实现 ||

```
[X,h] = pde.space_grid(NS);
[T,tau] = pde.time_grid(NT);
N = length(X);M = length(T);
r = pde.a()*tau/h;
if r >=1 && theta==0
    error('时间空间离散不满足显格式的稳定性条件! ')
end
r2 = r*r;
U = zeros(N,M);
% 初值条件
U(:,1) = pde.u_initial(X);
U(2:end-1,2) = r2/2*(U(1:end-2,1)+U(3:end,1)) + (1-r2)*U(2:end-1,1)...
    + tau*pde.udt_initial(X(2:end-1));
% 边值条件
U(1,:) = pde.u_left(T);
U(end,:) = pde.u_right(T);

%% 隐格式
d = 1 + 2*ones(N-2,1)*r2*theta;
c = -ones(N-3,1)*r2*theta;
```

# Matlab 实现 |||

```

A2 = diag(c,-1) + diag(c,1)+diag(d);

d = 2 - 2*ones(N-2,1)*r2*(1-2*theta);
c = ones(N-3,1)*r2*(1-2*theta);
A1 = diag(c,-1) + diag(c,1)+diag(d);

d = -1 - 2*ones(N-2,1)*r2*theta;
c = ones(N-3,1)*r2*theta;
A0 = diag(c,-1) + diag(c,1)+diag(d);
for i=3:M
    RHS = tau*tau*pde.f(X,T(i));
    RHS(2) = RHS(2) + theta*r2*U(1,i) + ...
        (1-2*theta)*r2*U(1,i-1)+ theta*r2*U(1,i-2);
    RHS(end-1) = RHS(end-1) + theta*r2*U(end,i) + ...
        (1-2*theta)*r2*U(end,i-1)+ theta*r2*U(end,i-2);
    U(2:end-1,i) = A2\ (A1*U(2:end-1,i-1) + A0*U(2:end-1,i-2)+RHS
        (2:end-1));
end

end

```



算例 1: 我们利用有限差分法去求解

$$\begin{aligned}\frac{\partial^2 u}{\partial t^2} - a^2 \frac{\partial^2 u}{\partial x^2} &= 0, \\ u(0, t) &= 0, \quad u(1, t) = 0, \\ u(x, 0) &= \begin{cases} \frac{0.5}{7}x, & x < 0.7 \\ \frac{0.5}{3}(1-x), & x \geq 0.7 \end{cases} \\ u_t(x, 0) &= 0.\end{aligned}$$

其中系数  $a^2 = 1$ .

其 Matlab 代码表示如下:

```
function pde = model_data()
% MODEL_DATA 模型数据

pde = struct('u_initial',@u_initial,'udt_initial',@udt_initial
,...
'u_left',@u_left,'u_right',@u_right,'f',@f,'time_grid',...
@time_grid,'space_grid',@space_grid,'a',@a);

function [T,tau] = time_grid(NT)
    T = linspace(0,4,NT+1);
    tau = 4/NT;
end
function [X,h] = space_grid(NS)
    X = linspace(0,1,NS+1)';
    h = 1/NS;
end
function u = u_initial(x)
    u = zeros(size(x));
    u(x < 0.7) = 0.5/7*x(x<0.7);
    u(x >= 0.7) = 0.5/3*(1-x(x>=0.7));
end

function u =udt_initial(x)
    u = zeros(size(x));
```

```
end
function u = u_left(t)
    u = zeros(size(t));
end
function u = u_right(t)
    u = zeros(size(t));
end
function f = f(x,t)
    f = zeros(size(x));
end
function a = a()
    a = 1;
end
end
```

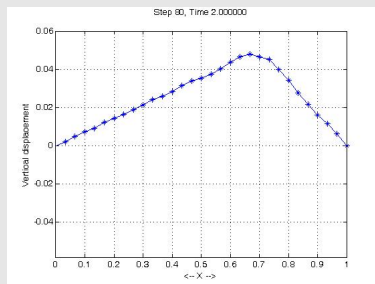
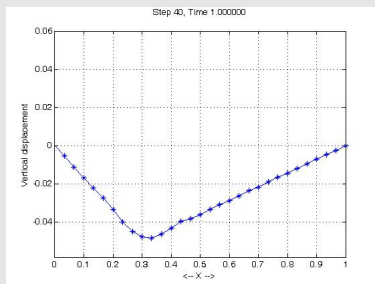
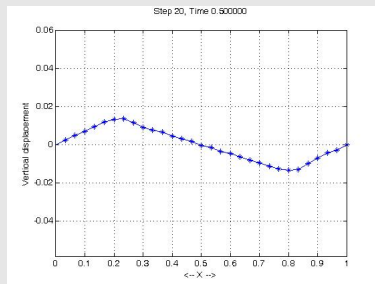
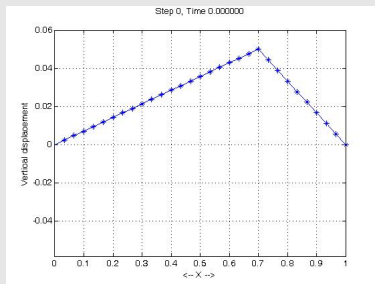
# 主测试脚本

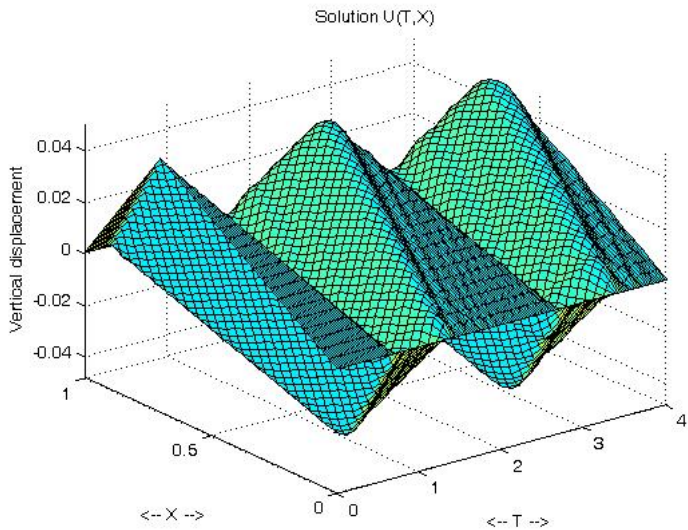
```
%% 一维一维弦振动方程有限差分方法主测试脚本 main_test.m
% 依次测试:
%     显格式 (theta = 0)
%     隐格式 (theta = 0.5)
% 并可视化数值计算结果。
%
% 作者: 魏华祎 <weihuayi@xtu.edu.cn>

pde = model_data(); %模型数据结构体

% 显格式
[X,T,U] = wave_equation_fd1d(100,800,pde);
showvarysolution(X,T,U); % 以随时间变化方式显示数值解
showsolution(X,T,U); % 以二元函数方式显示数值解

% 隐格式
[X,T,U] = wave_equation_fd1d(100,400,pde,0.5);
showvarysolution(X,T,U); % 以随时间变化方式显示数值解
showsolution(X,T,U); % 以二元函数方式显示数值解
```





## 显格式 (9) 的稳定性分析

考虑周期边界条件的初边值问题 (即  $\alpha(t) = \beta(t)$ ), 且  $L = 1$ .

先将三层格式 (9) 化为两层格式. 为此回顾连续问题 (波动方程)

$$\frac{\partial^2 u}{\partial t^2} = a^2 \frac{\partial^2 u}{\partial x^2}$$

引入辅助函数

$$v = \frac{\partial u}{\partial t}, \quad w = a \frac{\partial u}{\partial x}$$

则可将波动方程写为如下一阶偏微分方程组

$$\begin{cases} \frac{\partial v}{\partial t} = a \frac{\partial w}{\partial x} \\ \frac{\partial w}{\partial t} = a \frac{\partial v}{\partial x} \end{cases} \quad (16)$$

若令  $U = (v, w)^T$ ,

$$A = \begin{pmatrix} 0 & a \\ a & 0 \end{pmatrix}$$

则 (16) 可写为

$$\frac{\partial U}{\partial t} - A \frac{\partial U}{\partial x} = 0$$



类似地, 对三层格式

$$\frac{u_j^{n+1} - 2u_j^n + u_j^{n-1}}{\tau^2} = a^2 \frac{u_{j+1}^n - 2u_j^n + u_{j-1}^n}{h^2}$$

引入辅助序列

$$v_l^m = \frac{u_l^m - u_l^{m-1}}{\tau}, \quad w_{l-\frac{1}{2}}^m = a \frac{u_l^m - u_{l-1}^m}{h}$$

则可将 (9) 写成如下二层格式

$$\begin{cases} \frac{v_j^{n+1} - v_j^n}{\tau} = a \frac{w_{j+\frac{1}{2}}^n - w_{j-\frac{1}{2}}^n}{h} \\ \frac{w_{j-\frac{1}{2}}^{n+1} - w_{j-\frac{1}{2}}^n}{\tau} = a \frac{v_j^{n+1} - v_{j-1}^{n+1}}{h} \end{cases} \quad (17)$$

接着利用 Fourier 方法分析 (17) 的稳定性.

将 (17) 等价写为( $r = a\frac{\tau}{h}$ )

$$\begin{cases} v_j^{n+1} - v_j^n = r(w_{j+\frac{1}{2}}^n - w_{j-\frac{1}{2}}^n) \\ w_{j-\frac{1}{2}}^{n+1} - w_{j-\frac{1}{2}}^n = r(v_j^{n+1} - v_{j-1}^{n+1}) \end{cases} \quad (18)$$

令通项

$$v_{j+m}^{n+q} = \mu_{n+q}^1 e^{i\alpha(x_j+x_m)}, \quad w_{j+m}^{n+q} = \mu_{n+q}^2 e^{i\alpha(x_j+x_m)}, \quad \alpha = 2p\pi$$

代入 (18), 可得

$$\begin{cases} (\mu_{n+1}^1 - \mu_n^1) e^{i\alpha x_j} = r(e^{i\alpha \frac{h}{2}} - e^{-i\alpha \frac{h}{2}}) \mu_n^2 e^{i\alpha x_j} \\ (\mu_{n+1}^2 - \mu_n^2) e^{i\alpha x_{j-1/2}} = r(e^{i\alpha \frac{h}{2}} - e^{-i\alpha \frac{h}{2}}) \mu_{n+1}^1 e^{i\alpha x_{j-1/2}} \end{cases}$$

$$\Leftrightarrow (\text{令 } c = 2r \sin \theta, \theta = \pi ph)$$

$$\begin{cases} \mu_{n+1}^1 - \mu_n^1 = ic\mu_n^2 \\ \mu_{n+1}^2 - \mu_n^2 = ic\mu_{n+1}^1 \end{cases}$$

 $\Leftrightarrow$ 

$$\begin{cases} \mu_{n+1}^1 = \mu_n^1 + ic\mu_n^2 \\ \mu_{n+1}^2 = \mu_n^2 + ic\mu_{n+1}^1 = ic\mu_n^1 + (1 - c^2)\mu_n^2 \end{cases}$$

 $\Leftrightarrow$ 

$$\begin{pmatrix} \mu_{n+1}^1 \\ \mu_{n+1}^2 \end{pmatrix} = G(c) \begin{pmatrix} \mu_n^1 \\ \mu_n^2 \end{pmatrix}$$

其中,

$$G(c) = \begin{pmatrix} 1 & ic \\ ic & 1 - c^2 \end{pmatrix}$$

因为  $ic \neq \overline{ic} = -ic$ , 所以

$$G(c) \neq (G(c))^H$$

又注意  $s = 2$  以及增长矩阵 (与  $\tau$  无关), 所以由案例 2 中命题 4 的推论可知:

差分格式 (17) (或 (18)) 稳定的充要条件是上述矩阵  $G$  的特征值满足

$$(1) \quad |\lambda_i(x)| \leq 1, \quad i = 1, 2$$

$$(2) \quad \|G(x) - \frac{1}{2}(g_{11}(x) + g_{22}(x))I\| \leq M(|1 - |\lambda_1(x)|| + |\lambda_1(x) - \lambda_2(x)|)$$

$G(c)$  的特征方程为:

$$\lambda^2 - (2 - c^2)\lambda + 1 = 0 \quad (19)$$

由(案例 2 中引理 2)知:  $G(c)$  的特征根满足上述稳定性条件 (1) 的充要条件是

$$|b| = |2 - c^2| \leq 1 - (-1) = 2$$

$\Leftrightarrow$  (注意  $c = 2r \sin \theta, \theta = \pi ph$ )

$$|1 - 2r^2 \sin^2 \pi ph| \leq 1 \Leftrightarrow r^2 \sin^2 \pi ph \leq 1, \quad p = 0, \pm 1, \dots$$

$\Leftrightarrow$

$$r \leq 1$$

下面接着讨论上述稳定性条件 (2) 对  $r$  的要求.

注意方程 (19) 的二根为 ( 因为由  $r \leq 1$  知  $c^2 = 4r^2 \sin^2 \theta \leq 4$  )

$$\lambda_{1,2} = \frac{1}{2}[(2 - c^2) \pm i|c| \sqrt{4 - c^2}]$$

可知:  $\lambda_2 = \bar{\lambda}_1$ ,  $|\lambda_2| = |\lambda_1| = 1$ , 从而有

$$1 - |\lambda_1| = 0; \quad |\lambda_1 - \lambda_2| = |c| \sqrt{4 - c^2} \quad (20)$$

另一方面 (注意  $\lambda_1 + \lambda_2 = 2 - c^2$ )

$$G - \frac{1}{2}(g_{11} + g_{22})I = G - \frac{1}{2}(\lambda_1 + \lambda_2)I = \begin{bmatrix} \frac{1}{2}c^2 & ic \\ ic & -\frac{1}{2}c^2 \end{bmatrix}$$

其 F-模为

$$\left\| G - \frac{1}{2}(g_{11} + g_{22})I \right\|_F = |c| \left( 2 + \frac{1}{2}c^2 \right)^{1/2} \quad (21)$$

由 (20) 和 (21) 知: 稳定性 **条件 (2)** 成立的充要条件是: 存在正常数  $M > 0$  使得

$$|c| \left( 2 + \frac{1}{2}c^2 \right)^{1/2} \leq M |\lambda_1 - \lambda_2| = M |c| \sqrt{4 - c^2}$$

$\Leftrightarrow$

$$\left( 2 + \frac{1}{2}c^2 \right)^{1/2} \leq M \sqrt{4 - c^2} \quad (22)$$

下面分两种情况讨论 (22) 是否成立.

当  $r < 1$  时, (22) 显然成立. 事实上, 注意  $c^2 = 4r^2 \sin^2 \theta$ , 这时有

$$(2 + \frac{1}{2}c^2)^{1/2} < 2, \quad 2\sqrt{1-r^2} \leq \sqrt{4-c^2}$$

所以可取 (与  $\tau$  无关) 的正常数  $M = \frac{1}{\sqrt{1-r^2}}$ , 使得 (22) 成立.

当  $r = 1$  时, (22) 不成立. 事实上, 若  $h \rightarrow 0$  (或  $\tau \rightarrow 0$ ), 总存在  $p$  使得相应的  $\theta \rightarrow \frac{\pi}{2}$  ( $\theta = \pi p h$ ), 即  $c^2 \rightarrow 4$ . 这时 (22) 的左端  $\rightarrow 4$ , 右端  $\rightarrow 0$ , 所以 (22) 不成立, 即当  $r = 1$  时格式 (17) 不稳定.

综上所述: 差分格式 (17) 稳定的充要条件是网比

$$r = a\tau/h < 1$$

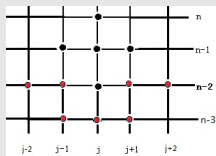


下面, 给出稳定条件  $r < 1$  的几何解释.

差分格式 (8) 的等价式可写为:

$$u_j^n = r^2(u_{j+1}^{n-1} + u_{j-1}^{n-1}) + 2(1 - r^2)u_j^{n-1} - u_j^{n-2}$$

由此知: 节点  $(x_j, t^n)$  处的差分解分量  $u_j^n$  与第  $n-1$  个时间层的三个节点 (见实心黑点) 处的差分解分量有关;



继续传递知:  $u_j^n$  与又与第  $n-2$  个时间层的五个节点处的差分解分量有关.

依次递推：知  $u_j^n$  依赖初始层的数值解：

$$u_j^0, u_{j\pm 1}^0, u_{j\pm 2}^0, \cdots, u_{j\pm n}^0$$

即点  $(x_j, t_n)$  的差分解  $u_j^n$  的依存域为

$$[x_{j-n}, x_{j+n}] = [x_j - nh, x_j + nh] = [x_j - \frac{h}{\tau}t_n, x_j + \frac{h}{\tau}t_n]$$

而由前面知：点  $(x_j, t_n)$  处的真解的依存域为

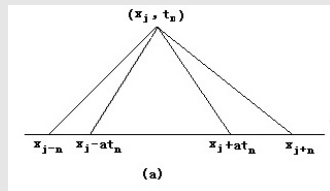
$$[x_j - at_n, x_j + at_n]$$

易知点  $(x_j, t_n)$  与数值解和真解的依存域的端点的连线的斜率分别为： $\pm \frac{\tau}{h}$  和  $\pm a^{-1}$ .

注意:  $r = a\frac{\tau}{h}$ , 所以  $r < 1$ , 表示

$$\frac{\tau}{h} < a^{-1}$$

即数值解的依存域(严格)包含了真解的依存域 (见下图).

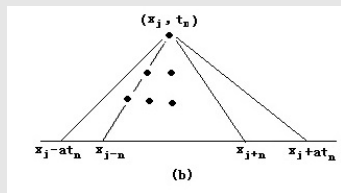


$r < 1$  又称 Courant 条件或 CFL (Courant-Friedrichs-Lewy) 条件.

反之若  $r > 1$ , 表示

$$\frac{\tau}{h} > a^{-1}$$

即真解的依存域包含了数值解的依存域 (见下图).



则在网格比  $r$  不变的情况下, 当  $\tau \rightarrow 0$  (则  $h \rightarrow 0$ ) 时, 由于初始函数在区间  $[x_j - at_n, x_{j-n}]$  和  $(x_{j+n}, x_j + at_n]$  的值的改变, 不影响点  $(x_j, t_n)$  处的数值解  $u_j^n$  的值, 但确影响点  $(x_j, t_n)$  处的真解的值, 所以收敛性无法保证, 自然稳定性也没有 (因为稳定 + 相容 = 收敛).

## 隐格式 (15) 的稳定性分析

当  $\theta \neq 0$  时, (15) 为隐格式. 特别取  $\theta = 0.25$ ,

$$\begin{aligned} \frac{u_j^{n+1} - 2u_j^n + u_j^{n-1}}{\tau^2} = & a^2 \left[ \frac{1}{4} \frac{u_{j+1}^{n+1} - 2u_j^{n+1} + u_{j-1}^{n+1}}{h^2} \right. \\ & + \frac{1}{2} \frac{u_{j+1}^n - 2u_j^n + u_{j-1}^n}{h^2} \\ & \left. + \frac{1}{4} \frac{u_{j+1}^{n-1} - 2u_j^{n-1} + u_{j-1}^{n-1}}{h^2} \right] \end{aligned}$$

引入辅助序列

$$\begin{cases} v_j^k = \frac{u_j^k - u_j^{k-1}}{\tau} \\ w_{j+\frac{1}{2}}^k = a \frac{(u_{j+1}^k - u_j^k) + (u_{j+1}^{k-1} - u_j^{k-1})}{2h} \end{cases}$$

则上述差分格式可写为二层格式(证明见习题 1)

$$\begin{cases} \frac{v_j^{n+1} - v_j^n}{\tau} = a \frac{w_{j+\frac{1}{2}}^n - w_{j-\frac{1}{2}}^n + w_{j+\frac{1}{2}}^{n+1} - w_{j-\frac{1}{2}}^{n+1}}{2h} \\ \frac{w_{j-\frac{1}{2}}^{n+1} - w_{j-\frac{1}{2}}^n}{\tau} = a \frac{v_j^{n+1} - v_{j-1}^{n+1} + v_j^n - v_{j-1}^n}{2h} \end{cases} \quad (23)$$

差分格式 (23) 的增长矩阵为

$$G(\alpha h) = \begin{pmatrix} \frac{1-c^2/4}{1+c^2/4} & \frac{ic}{1+c^2/4} \\ \frac{ic}{1+c^2/4} & \frac{1-c^2/4}{1+c^2/4} \end{pmatrix}, \quad c = 2r \sin \frac{\alpha h}{2}$$

容易验证  $G(\alpha h)$  是酉矩阵, 且差分方程满足 Von Neumann 条件, 故 (23) 绝对稳定.(证明见习题 2)

习题 1 证明当  $\theta = 0.25$  时, 差分格式 (15) 等价于 (23).

习题 2 证明 (23) 绝对稳定.

习题 3 试证明三层差分格式

$$\frac{u_j^{n+1} - 2u_j^n + u_j^{n-1}}{\tau^2} = \frac{a^2}{16} \left[ 3 \frac{u_{j+1}^{n+1} - 2u_j^{n+1} + u_{j-1}^{n+1}}{h^2} + 10 \frac{u_{j+1}^n - 2u_j^n + u_{j-1}^n}{h^2} + 3 \frac{u_{j+1}^{n-1} - 2u_j^{n-1} + u_{j-1}^{n-1}}{h^2} \right] \quad (24)$$

等价于如下两层差分格式:

$$\begin{cases} \frac{v_j^{n+1} - v_j^n}{\tau} = \frac{a}{2} \frac{(w_{j+1/2}^n - w_{j-1/2}^n) + 3(w_{j+1/2}^{n+1} - w_{j-1/2}^{n+1})}{2h} \\ \frac{w_{j-1/2}^{n+1} - w_{j-1/2}^n}{\tau} = \frac{a}{2} \frac{(v_j^{n+1} - v_{j-1}^{n+1}) + 3(v_j^n - v_{j-1}^n)}{2h} \end{cases} \quad (25)$$

其中

$$\begin{cases} v_j^k = \frac{u_j^k - u_j^{k-1}}{\tau} \\ w_{j+1/2}^k = \frac{a}{2} \frac{(u_{j+1}^k - u_j^k) + 3(u_{j+1}^{k-1} - u_j^{k-1})}{2h} \end{cases} \quad (26)$$